

(120) 硫黄快削鋼のDC ESRによる硫黄の移動におよぼす電源極性あるいはスラグ組成の差異の影響

名大工 故小島 廉、井上道雄、長谷川清
名工試 ○加藤 誠

I. 目的 ESR溶解時における硫黄の挙動を追跡するために、硫黄快削鋼をDC ESR溶解し、電源極性ならびにスラグ組成の差異の影響を検討した。

II. 方 法 再溶解装置および方法は前報¹⁾と同様である。溶製インゴットを中心で縦割し、一方をフーロマチック法によるS、O、Cの定量に、他方を発光分光分析による諸金属元素の定量に供した。また溶解中、スラグプールより注射器と石英管で吸引採取したスラグ、およびスラグスキンにつき、燃焼法でSを、Reinhardt-Zimmermann法でFeを定量した。再溶解した硫黄快削鋼成分および使用したスラグ組成を、表1および2に示す。

III. 結 果 分析結果を図1 表1. 硫黄快削鋼の成分

に示すが、ESR時におけるSの移動は、スラグ組成および電源極性

に対する依存性が顕著である。

DCSP(消耗電極(-))では、

ANF-6を用いた場合[S]インゴットおよび(S)スラグプールは溶解中ほぼ一定

を示し、スラグ表面を通しての気化脱硫速度がほぼ一定であることを示している。また気化脱硫率も32%と高い。ところがANF-7では、溶解初期の[S]インゴットはほぼ直線的に増加し、これに対応して(S)スラグプールも増加する。しかし、やがて[S]インゴットが[S]electrodeと等しくなってほとんど脱硫を示さなくなると、(S)スラグプールもほぼ一定値を示すようになる。この場合、気化脱硫率も9.3%と低く、電極材より脱硫した硫黄の大部分はスラグ中に残存する。

一方DCRP(消耗電極(+))では、ANF-6では[S]インゴットは溶解とともにわずかに増加する傾向を示すが、(S)スラグプールはある程度溶解が進行すればほぼ一定値となる。また、ANF-7ではDCSPと類似の傾向がみられるが、[S]インゴットは低く、(S)スラグプールはDCSPの場合より高い値が得られている。いずれのスラグの場合でも、[S]インゴット値はDCSPの場合より低く脱硫は顕著であるが、気化脱硫率も61.4%

および62.0%で共に高く、スラグ組成による差異は少ない。

1). 小島、井上、野村、長谷川、

加藤：鉄と鋼、62(1976), S98.

Element	S	C	Si	Mn	Cr	Cu	Al	P	O
wt %	0.095	0.495	0.245	1.18	0.153	0.010	0.037	0.023	0.0030

表2. スラグ組成(wt%)

	CaF ₂	Al ₂ O ₃	CaO	MgO	CaCO ₃	SiO ₂	Al ₂ O ₃ + Fe ₂ O ₃	moist
ANF-6	69.02	29.82			0.39	0.06		0.06
ANF-7	68.6		29.1	0.2	0.4	0.7	0.3	0.05

DCSP(消耗電極(-))では、ANF-6を用いた場合[S]インゴットおよび(S)スラグプールは溶解中ほぼ一定を示し、スラグ表面を通しての気化脱硫速度がほぼ一定であることを示している。また気化脱硫率も32%と高い。ところがANF-7では、溶解初期の[S]インゴットはほぼ直線的に増加し、これに対応して(S)スラグプールも増加する。しかし、やがて[S]インゴットが[S]electrodeと等しくなってほとんど脱硫を示さなくなると、(S)スラグプールもほぼ一定値を示すようになる。この場合、気化脱硫率も9.3%と低く、電極材より脱硫した硫黄の大部分はスラグ中に残存する。

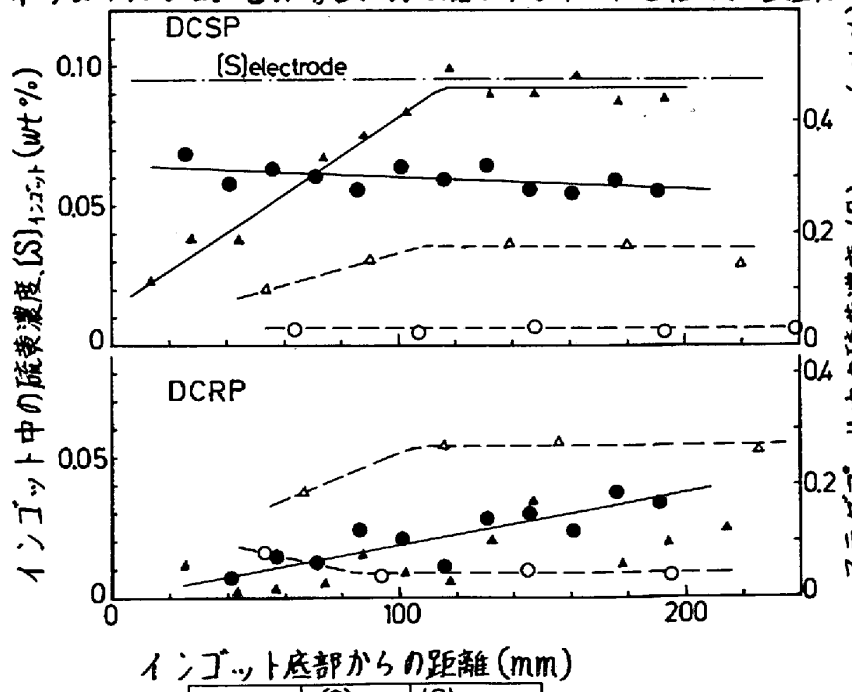


図1. スラグプール中およびインゴット中の硫黄濃度分布